

## ある4次元開多様体とその中の

‘bad disk’について

東大理 松本幸夫

### §1. 序

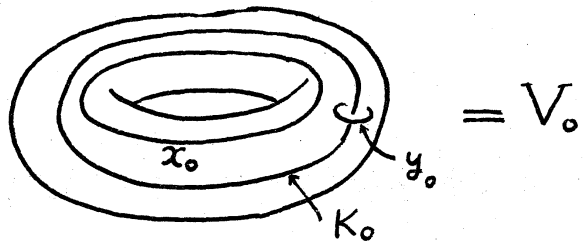
一般に、4次元多様体  $M$  と、2次元球面からの連続写像  $\phi : S^2 \rightarrow M$  が与えられたとき、 $\phi$  は必ずしも位相的埋め込み写像 (topological embedding) にホモトピーではない。このノートの目的は、そのことを示すある4次元開多様体の例を与え、その中に局所平坦に埋め込まれたある開円板 (これを仮に ‘bad disk’ と呼ぶ) が、  $S^2$  の位相的埋め込みを許さない幾何学的障害になっている様子を示すことである。

### §2. その構成

定理1 次の性質(i), (ii)を持つ4次元開多様体  $U^4$  が存在する。  
(i)  $U^4$  は  $S^2$  とホモトピー同値である ( $U^4 \simeq S^2$ )。  
(ii)  $H_2(U^4; \mathbb{Z}) \cong \mathbb{Z}$  の、零でない要素は、 $S^2$  の位相的埋め込みによっては実現出来ない。

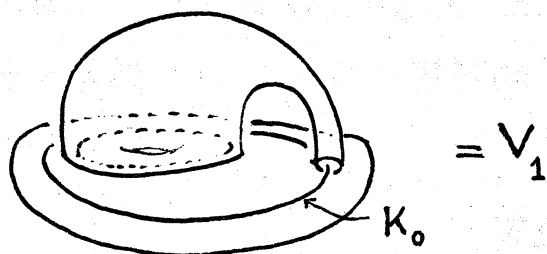
$U^4$ の構成 この多様体 $U^4$ は、Venema 氏との共著[1]で与えた $W$ に他ならないが、念のため、ここでその構成を復習しておく。まず、4次元の Solid torus  $D^3 \times S^1$ をとり、それを  $V_0$  とする。 $V_0$  の境界  $\partial V_0$  上に 3 つの円周  $x_0, y_0, K_0$  を、図1に示されたように埋め込む。

図1



そして、 $x_0$  と  $y_0$  の管状近傍（ $\partial V_0$  の中でのそれ）に沿って  $S^1 \times D^2 \times [0, 1]$  を  $V_0$  に貼り付ける。（図2）得られた多様体を  $V_1$  とする： $V_1 = V_0 \cup S^1 \times D^2 \times [0, 1]$ 。このような操作を

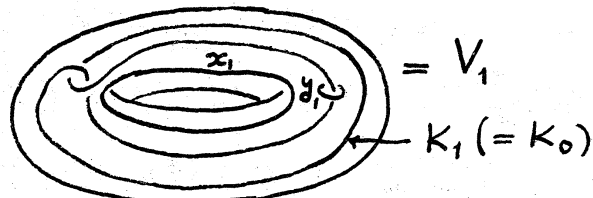
図2



“円周  $x_0, y_0$  に沿って  $V_0$  に round handle をくっつける操作”と呼ぼう。論文[1]で示したように、こうして得られた  $V_1$  は再び  $D^3 \times S^1$  と PL 同形になる。そして、 $\partial V_1$  の上に  $K_0$

が乗っているか、 $K_0$ の位置は $\partial V_1$ では図3のように見える。  
(説明があとさきになってしまったが、round handle をくっつける際の framing は自明なものをとする)  $\partial V_1$ 上に乗っ

図3



ている $K_0$ のことを $K_1$ と名付ける。 $\partial V_1$ 上に再び円周 $x_1, y_1$ を(図3のように)とり、 $x_1, y_1$ に沿って $V_1$ にround handleをくっつける。得られた多様体を $V_2$ とする。 $V_2$ はまた $D^3 \times S^1$ とPL同形になっていて、その境界 $\partial V_2$ 上での $K_1$ は図4の $K_2$ のように見える。 $\partial V_2$ 上にまた円周 $x_2, y_2$ を

図4

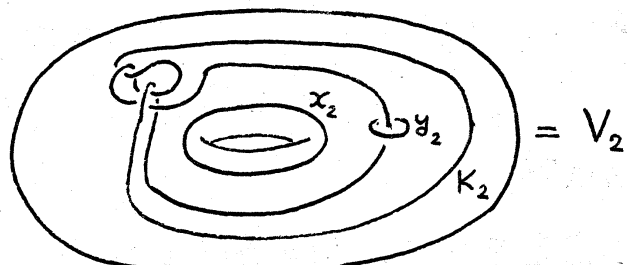


図4のようにとり、それ等に沿って $V_2$ にround handleをくっつける。得られた多様体を $V_3$ とする。以下同様に、同じ

操作を際限なく繰り返す。はじめの  $K_0$  の  $\partial V_0$  における開管状近傍を  $N (\cong S^1 \times \mathbb{R}^2)$  とすると、 $N$  は、どの  $\partial V_i$  にも埋め込まれているとしてよい。 $V_i$  から  $V_{i+1}$  を構成するとき、 $K_i (= K_0)$  の管状近傍はそのままにしておく、と考えられるからである。さて  $W_0 = N \cup \bigcup_{i=0}^{\infty} \text{Int } V_i$  とおく。すなあち、無限の和集合  $\bigcup_{i=0}^{\infty} V_i$  から、 $N$  以外の境界をヒリはずしてしまってある。 $V_{i+1}$  を、 $V_i$  から構成する方法をみれば、包含写像  $V_i \rightarrow V_{i+1}$  がホモトープゼロであることがわかる。また、 $\partial W_0 \cong S^1 \times \mathbb{R}^2$  は明らか。よって次の補題が得られた。

補題2  $W_0$  は可縮である。かつ  $\partial W_0 \cong S^1 \times \mathbb{R}^2$  である。

$W_0$  の境界  $\partial W_0$  に沿って、‘開いた2ハンドル’  $D^2 \times \mathbb{R}^2$  を貼り合せて得られる多様体を  $U^4$  とする。これが構成しようとしていた4次元開多様体である。補題2から直ちに

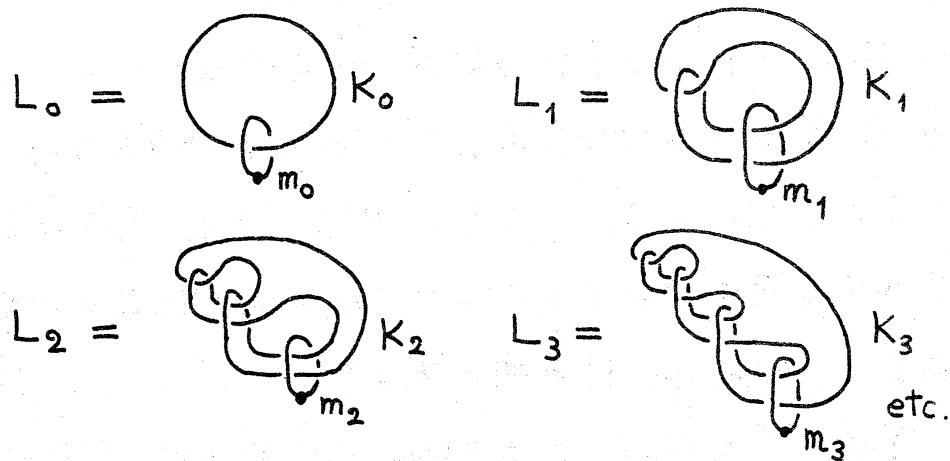
補題3  $U^4 \cong S^2$

がわかる。

### §3. $U^4$ の性質

定理1の(ii)を示そう。前の論文[1]では、 $H_2(U^4; \mathbb{Z})$  の零でない要素が PL に埋め込まれた  $S^2$  で表わせない事を示したが、ほぼ同じ議論で、位相的に埋め込まれた  $S^2$  でも表わせないことが言えるのである。まず、 $U^4$  の構造についての注意。

$\{L_i\}_{i=0,1,2,\dots}$  を次のような絡み目の系列とする.



(二のような絡み目の系列は、既に Milnor の論文 [2] に現われている。) Kirby の方法に従って、絡み目によって 4 次元多様体を表す。上図で、点 (dot) のついた円周  $m_i$  は  $S^1 \times D^3$  を表すし、もう一方の円周  $K_i$  に沿って  $S^1 \times D^3$  に 2 ハンドルをつける。(framing は自明とする。) こうして得られた 4 次元多様体を  $U_i$  とする。

- 補題 4
- (i) 任意の  $i \geq 1$  について,  $U_i \cong S^1 \vee S^2$ .
  - (ii) 次の性質 (イ), (ロ) を持つ埋め込み  $U_i \subset \text{Int}(U_{i+1})$  が存在する。
    - (イ) induced homomorphism  $\pi_1(U_i) \rightarrow \pi_1(U_{i+1})$  は自明。
    - (ロ)  $U^4 = \bigcup_{i=1}^{\infty} U_i$  ( $U^4$  は §2 で構成した 4 多様体)

さて、もし  $H_2(U^4; \mathbb{Q}) \cong \mathbb{Q}$  の零でない要素が  $S^2$  の位相的な埋め込みで表されるとするとき、その埋め込まれた像

を  $\Sigma^2$  として、 $\Sigma^2$  は適当な  $U_i$  の内部に含まれる（補題 4 の (ii)）  
 $: \Sigma^2 \subset U_i$ 。すると、このことから、論文 [1] の p213  
 の Thms 1.1 and 1.2 の証明と全く同様にして、多様体  $W^4(L_i)$   
 の  $\mathbb{Q}$ -基底が互いに交わらない  $S^2$  の位相的埋め込みで表わさ  
 れることがわかる。ここに、 $W^4(L_i)$  は、絡み目  $L_i$  に沿っ  
 て 4 次元円板  $D^4$  に 2 つの 2 ハンドルをつけた 4 次元多様体で  
 ある（framing は自明とする）。

定理 5 (Kawauchi の Thm C in [3] の  $\mathbb{Q}$ -TOP version)

もし  $H_2(W^4(L_i); \mathbb{Q}) \cong \mathbb{Q} \oplus \mathbb{Q}$  の基底が互いに交わらない  $S^2$  の位相的埋め込みで表わされるなら、 $L_i$  の 1 変数アレ  
 クサンダー-多項式は  $(1-t)^k$  ( $k \geq 2$ ) という因子を含まない。

ところが、 $L_i$  の 1 変数アレクサンダー-多項式は  $(1-t)^{2i+1}$   
 であることがわかる。よって定理 5 により、 $W^4(L_i)$  の  $\mathbb{Q}$   
 基底が互いに交わらない  $S^2$  の位相的埋め込みで表わされるこ  
 とはない。従がって、 $H_2(U^4; \mathbb{Q})$  の零でない要素は  $S^2$  の位  
 相的埋め込みでは表わされない。

Ohkawa の次の定理を使っても同じことが結論される。

定理 6 (Ohkawa [4], Thm 2 の系) もし  $H_2(W^4(L); \mathbb{Q})$   
 $\cong \mathbb{Q} \oplus \mathbb{Q}$  の基底が互いに交わらない  $S^2$  の位相的埋め込みで  
 表わせるなら、絡み目  $L$  の Milnor  $\bar{\mu}$ -不变量 = 0 である。

絡み目  $L_i$  の Milnor  $\bar{\mu}$  不変量は 0 でないから [2],  $H_2(W^4(L_i); \mathbb{Q}) \cong \mathbb{Q} \oplus \mathbb{Q}$  の基底は、互いに交わらない  $S^2$  の位相的埋め込みで“表わせない”。

#### §4. $U^4$ 中の bad disk

前節で、 $H_2(U^4; \mathbb{Z})$  の零でない要素は  $S^2$  の位相的埋め込みで“表わせない”ことを示したが、この節では、 $U^4$  のどのような‘幾何的事情’が  $S^2$  の埋め込みをさまたげているかを見るこ<sup>ト</sup>にする。簡単のため、 $H_2(U^4; \mathbb{Z})$  の生成元についてそれを見ることにする。それには、§2 で構成した  $W_0$  の境界  $\partial W_0 \cong S^1 \times \mathbb{R}^2$  の‘中心線’  $S^1 \times \{0\}$  が、何故  $W_0$  の中で位相的に埋め込まれた円板を bound しないか、その幾何学的事情を見ればよいだろう。

まず、図 1 の  $V_0$  の中で、 $K_0$  と  $x_0$  とか“アニュラス  $A_0$ ”を張る。そして  $V_0$  に付ける round handle の中で、 $x_0$  と  $y_0$  とかもうひとつのアニュラス  $B_0$  を張る。図 5 のように、アニュラス  $A_0 \cup B_0$  に‘Cap’  $C_0$  をかぶせ、かつ斜線で示したように穴を開ければ、再びアニュラスになる。このアニュラス

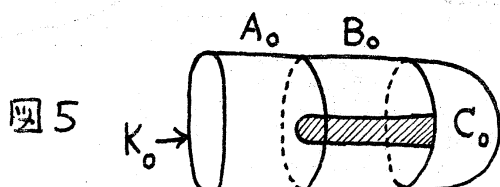
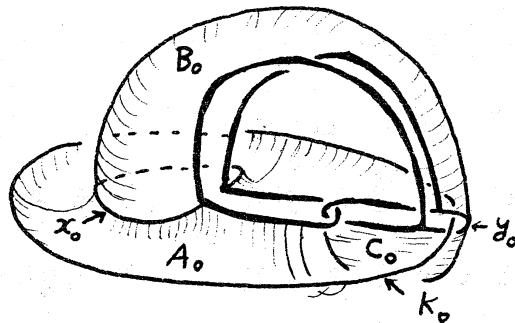


図 5

を、その境界が  $\partial V_1$  に入るようにして  $V_1$  の中に埋め込むことが出来る。(図6)

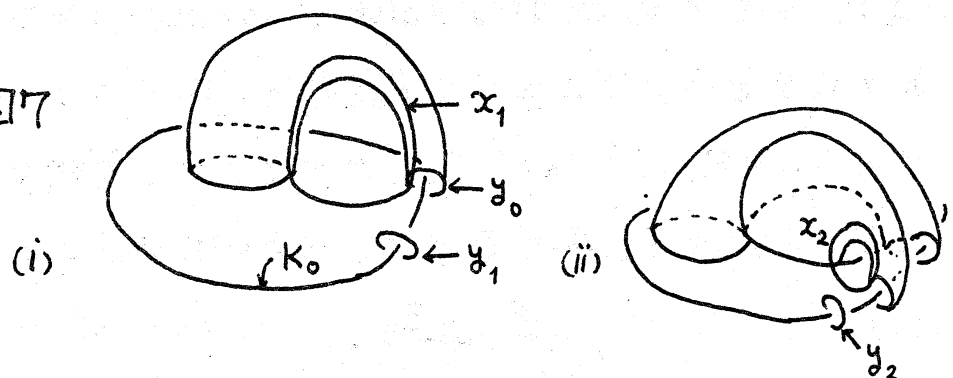
図6



これが図2  
の  $V_1$  の中に  
埋め込まれ  
る。

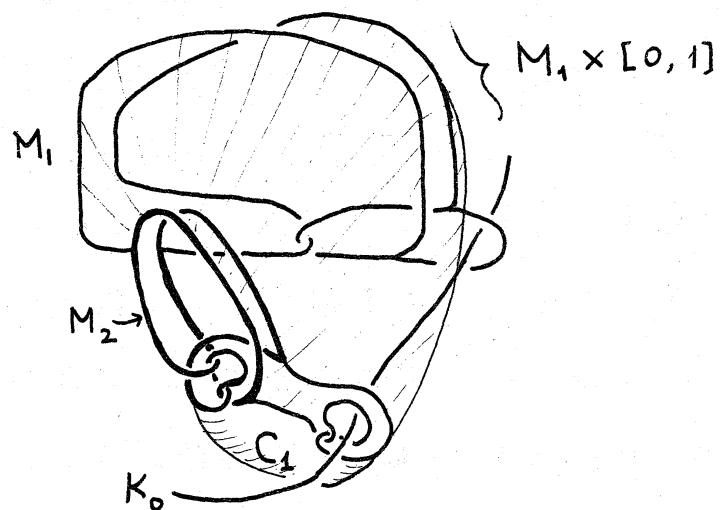
図6で“太く描いた線が” $K_0$ 以外の境界線である。これを仮に  $M_1$  と名付ける。 $V_2$  の構成は、 $V_1$  に round handle をつけるのだが、round handle をそれに沿ってつける 2つの円周  $x_1, y_1$  は次の図7のような位置にあると考えられる。そして、 $x_1$  の  $\partial V_1$  における管状近傍は、 $M_1$  をあっかり含むとし

図7



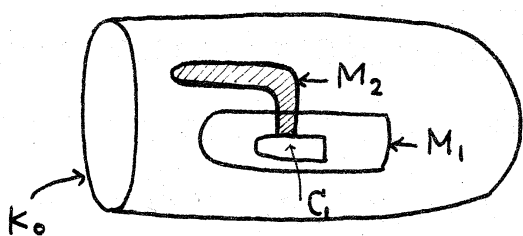
てよ。 $V_1$ の中に(図6の要領で)アニュラスを埋め込んだのと同様にして、 $V_2$ の中にアニュラスを埋め込む。その一部の様子を描くと図8のようになる。つまり、図5のアニュラ

図8



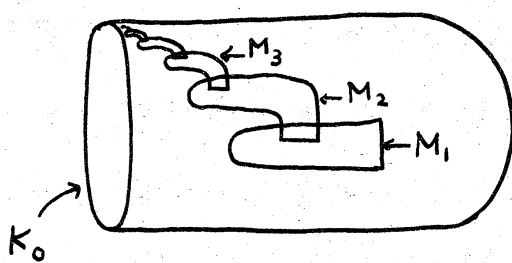
スの $K_0$ 以外の境界線( $M_1$ に他ならない)に $M_1 \times [0,1]$ をはりつけ、それにCap  $C_1$ をかぶせたものから図9の斜線で示したような穴を開けたもの(それは再びアニュラス)を $V_2$ に埋め込むのである。そのアニュラスの、 $K_0$ 以外の境界線は $M_2$ になる。図8では、 $M_2$ は少し太い線で描かれている。

図9



次の段階では、図7の(ii)の  $x_2, y_2$  に沿って  $V_2$  に round handle をつけ  $V_3$  を構成し、その中にアニュラスをうめこむ。そのアニュラスは、図9の  $M_2$  に  $M_2 \times [0, 1]$  をはりつけ、それに Cap  $C_2$  をかぶせたものから、しかるべき穴を開けたものである。 $C_0, C_1$  がそれぞれ円周  $y_0, y_1$  に沿って  $K_0$  に絡まつたように、Cap  $C_2$  は  $y_2$  に沿って  $K_0$  に絡みつく。“ここで”もし、 $y_0, y_1, y_2, \dots$  という円周の系列が、 $K_0$  の1点に収束するように、しだいに小さくなつて行く系列なら、円板上の  $M_1, M_2, \dots$  の系列を  $K_0$  の1点に収束するようにうまく（例えば図10）のようにとれば、その極限として円板の位相的な ( $W_0$  への) 埋め込みが存在することになる。しかし実際には、図2の構成で述べたように、 $K_0$  のあらかじめ指

図10

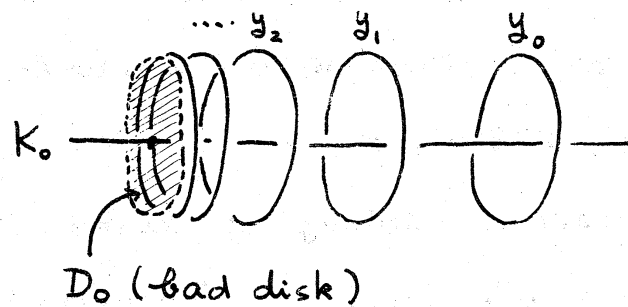


定しておいた開管状近傍  $N$  に触れないように round handle のとりつけを行なわねばならない。つまり、円周  $y_i$  の直径は、ある定数より小さくなれなり。これが、 $W_0$  に円板が埋

め込めないこの幾何学事情である。

いま、円周の系列  $\{y_i\}$  が、  $K_0$  の開管状近傍  $N$  のひとつのファイバーの境界に収束していける場合を考えよう。(図 11)  
この開管状近傍のファイバー  $D_0$  が ‘bad disk’ と呼びたいものである。すでに見たように、もし ‘bad disk’ の大きさが‘無かりせば’  $W_0$  に円板が位相的に埋め込める。また、 $K_0$

図 11



を境界とするアニユラスの系列を構成したが、それ等は、 $D_0$  の周辺部に近づくに従がって激しく振動して行く。 $D_0$  は、 $W_0$  に開いた 2 ハンドルをはりつけた  $U^4$  の中にても、局部平坦に埋め込まれているか、 $D_0$  は  $U^4$  に  $S^2$  が埋め込まない幾何学的障害と考えられよう。

注意 1. 無限チェインのホモロジー群  $\check{H}_2(U^4; \mathbb{Z})$  と  $H_2(U^4; \mathbb{Z})$  とは双対的であるか、開円板  $D_0$  は  $H_2(U^4; \mathbb{Z})$  の生成元の双対になっている。

注意 2. 上では、円周の系列  $\{y_i\}$  が一定の円周に収束す

る場合に ‘bad disk’  $D_0$  の存在を見たが、 $\{y_i\}$ をどのようにとると、得られる  $U^+$  は PL 同形であることが示せるので、 $\{y_i\}$  を ‘うまく’ とらなくては、bad disk は存在する。

### 文 獻

- [1] Y. Matsumoto - G.A. Venema ; Failure of the Dehn Lemma on Contractible 4-Manifolds, Inventiones math. 51, 1979, 205 - 218
- [2] J. Milnor ; Isotopy of links, in Algebraic Geometry and Topology, Princeton UP, 1957
- [3] A. Kawauchi ; On quadratic forms of 3-manifolds, Inventiones math. 43, 1977, 177 - 198
- [4] T. Ohkawa ; Homological separating, topological embeddings, and the Milnor  $\bar{\mu}$ -invariant of links, (to appear)